

# 三乙醇胺强化 $\text{Na}_2\text{SO}_3$ 脱硫性能研究\*

马永鹏<sup>1,2</sup> 袁东丽<sup>1</sup> 徐腾飞<sup>1</sup> 张肖静<sup>1</sup> 王力臻<sup>1</sup> 瞿贊<sup>2</sup> 贾金平<sup>2</sup>

(1.郑州轻工业大学材料与化学工程学院,环境污染治理与生态修复河南省协同创新中心,河南 郑州 450002;

2.上海交通大学环境科学与工程学院,上海 200240)

**摘要** 循环 $\text{Na}_2\text{SO}_3$ 法常用于有色金属冶炼烟气脱硫,但由于烟气含氧量高而使 $\text{Na}_2\text{SO}_3$ 易被氧化导致脱硫效果不佳。因此,考察了三乙醇胺强化 $\text{Na}_2\text{SO}_3$ 脱硫的效果。结果表明:在一定范围内,添加三乙醇胺浓度越高, $\text{Na}_2\text{SO}_3$ 吸收液的脱硫效果越好;在添加一定量的三乙醇胺的条件下, $\text{Na}_2\text{SO}_3$ 质量分数增加,脱硫效果增强,并且三乙醇胺显现出明显的强化效果。三乙醇胺由于含有羟基与氨基也具有吸收 $\text{SO}_2$ 的作用,能与 $\text{Na}_2\text{SO}_3$ 起协同脱硫作用。对于 $\text{SO}_2$ 质量浓度为5 000 mg/m<sup>3</sup>、 $\text{O}_2$ 体积分数为6%、载气 $\text{N}_2$ 作为平衡气的情况,建议用0.226 2 mol/L三乙醇胺强化质量分数为3%的 $\text{Na}_2\text{SO}_3$ 进行脱硫。

**关键词** 有色金属冶炼烟气 脱硫  $\text{Na}_2\text{SO}_3$  三乙醇胺

DOI:10.15985/j.cnki.1001-3865.2020.10.002

**Study on sodium sulfite desulfurization performance with triethanolamine enhancement MA Yongpeng<sup>1,2</sup>, YUAN Dongli<sup>1</sup>, XU Tengfei<sup>1</sup>, ZHANG Xiaojing<sup>1</sup>, WANG Lizhen<sup>1</sup>, QU Zan<sup>2</sup>, JIA Jinping<sup>2</sup>. (1. Henan Collaborative Innovation Center of Environmental Pollution Control and Ecological Restoration, School of Material and Chemical Engineering, Zhengzhou University of Light Industry, Zhengzhou Henan 450002; 2. School of Environmental Science and Engineering, Shanghai Jiao Tong University, Shanghai 200240)**

**Abstract:** The cyclic  $\text{Na}_2\text{SO}_3$  process is often used for desulfurization of non-ferrous smelting flue gas, but since the flue gas contains high oxygen,  $\text{Na}_2\text{SO}_3$  is easily to be oxidized, leading to bad desulfurization efficiency. Therefore, the triethanolamine was added to the sodium sulfite solution to enhance the desulfurization performance. Results showed that within a certain range, as triethanolamine increased, desulfurization effect enhanced; adding triethanolamine within a certain concentration,  $\text{Na}_2\text{SO}_3$  mass percentage increased, desulfurization effect enhanced; at the same time, triethanolamine showed significant enhancement. The triethanolamine could absorb  $\text{SO}_2$  because of its hydroxyl and amino, so it could synergistically react with  $\text{Na}_2\text{SO}_3$  for desulfurization. For the flue gas that contained 5 000 mg/m<sup>3</sup>  $\text{SO}_2$  and 2% (volume fraction)  $\text{O}_2$  with  $\text{N}_2$  as balance gas, it was suggested that 0.226 2 mol/L triethanolamine could be used to enhance 3% (mass fraction)  $\text{Na}_2\text{SO}_3$  to achieve desulfurization effect.

**Keywords:** non-ferrous metal smelting flue gas; desulfurization; sodium sulfite; triethanolamine

近年来,我国时常发生大范围持续雾霾天气<sup>[1-2]</sup>。硫酸盐是雾霾污染元凶细颗粒物( $\text{PM}_{2.5}$ )中的主要二次无机化学组分<sup>[3-6]</sup>,因此控制大气中硫酸盐的前驱物气态 $\text{SO}_2$ 对雾霾污染的治理至关重要<sup>[7-9]</sup>。工业源排放依然是我国大气 $\text{SO}_2$ 的最主要来源,也是目前大气 $\text{SO}_2$ 污染治理的关键<sup>[10]</sup>。目前,我国在火电行业及中小燃煤锅炉烟气脱硫方面取得了一定的效果<sup>[11-14]</sup>,然而有色金属冶炼行业的烟气 $\text{SO}_2$ 排放问题日益凸显<sup>[15-16]</sup>。最近,我国又对有色金属冶炼行业工业炉窑烟气净化提出了超低排放要求,使得该行业烟气 $\text{SO}_2$ 减排压力越来越大,尤其是对于含中浓度 $\text{SO}_2$ 的冶炼烟气。

适合有色金属冶炼行业含中浓度 $\text{SO}_2$ 烟气的脱硫技术主要有钠碱法、有机胺法、离子液法、循环 $\text{Na}_2\text{SO}_3$ 法等<sup>[17-18]</sup>。钠碱法由于脱硫副产物易结晶且难以回收利用,因此运行成本较高;有机胺法存在脱附困难、再生效率低、运行费用高等缺点;离子液法因钠离子及重金属离子易富集造成损耗,需定期更换<sup>[19]</sup>。相对而言,循环 $\text{Na}_2\text{SO}_3$ 法可以再生 $\text{Na}_2\text{SO}_3$ ,能循环使用<sup>[20-22]</sup>,是目前最具前景的脱硫技术之一。然而,由于有色金属冶炼过程产生的烟气中氧气体积分数为3%~16%,平均为6%,会导致脱硫液中 $\text{Na}_2\text{SO}_3$ 被氧化成 $\text{Na}_2\text{SO}_4$ ,从而影响脱硫效果,因此限制了其在该行业中的推广应用。在

第一作者:马永鹏,男,1984年生,博士,副教授,主要从事大气污染控制技术研究。

\*中国博士后基金第64批面上项目(No.2018M640393);河南省高等学校重点科研项目(No.20A610011)。

湿法脱硫工艺中常通过加入合适的添加剂来提高脱硫效果<sup>[23]</sup>。其中常用的无机添加剂有 $\text{H}_2\text{O}_2$ 、 $\text{NaClO}_2$ 、 $\text{KMnO}_4$ 、 $\text{HClO}_3$ 等,有机添加剂包括有机酸类和有机胺类<sup>[24-26]</sup>。无机添加剂基本都是强氧化剂,其作用原理是利用强氧化性将 $\text{SO}_2$ 氧化成 $\text{SO}_3$ 后形成硫酸盐,从而提高脱硫效率,但这些强氧化剂也能使 $\text{Na}_2\text{SO}_3$ 氧化成 $\text{Na}_2\text{SO}_4$ ,因此不适用于循环 $\text{Na}_2\text{SO}_3$ 法脱硫工艺。有机酸类添加剂的酸性会阻碍 $\text{SO}_2$ 溶解,因此也不适用于循环 $\text{Na}_2\text{SO}_3$ 法脱硫工艺。有机胺类属于碱性物质且经常在工业领域中作为抗氧化剂使用,本研究尝试选用三乙醇胺来强化 $\text{Na}_2\text{SO}_3$ 脱硫。

综上,本研究针对有色金属冶炼行业含中浓度 $\text{SO}_2$ 烟气特点和循环 $\text{Na}_2\text{SO}_3$ 脱硫工艺缺陷,利用三乙醇胺作为添加剂来强化 $\text{Na}_2\text{SO}_3$ 的脱硫效果,研究添加剂的作用机理,为有色金属冶炼行业烟气脱硫提供技术支撑。

## 1 研究方法

### 1.1 实验装置

图1为实验装置示意图,主要由模拟烟气配气系统、吸收反应系统、在线监测系统、尾气处理系统4大部分组成。烟气流量为1.0 L/min,烟气组成为: $\text{SO}_2$ 质量浓度5 000 mg/m<sup>3</sup>、 $\text{O}_2$ 体积分数6%、载气 $\text{N}_2$ 作为平衡气。各种组分气体在混气装置内充分混合后,通入装有50 mL吸收液的常压鼓泡反应器中进行 $\text{SO}_2$ 的吸收实验,吸收液有效成分为 $\text{Na}_2\text{SO}_3$ 和三乙醇胺溶液。通过伴热带加热控制管路温度为50 °C,反应器置于油浴锅中并设置温度为25 °C。鼓泡反应器进口和出口 $\text{SO}_2$ 浓度通过烟气分析仪(Testo-350)进行监测,出口烟气分别通过空瓶、 $\text{NaOH}$ 和 $\text{KMnO}_4$ 进行尾气净化。

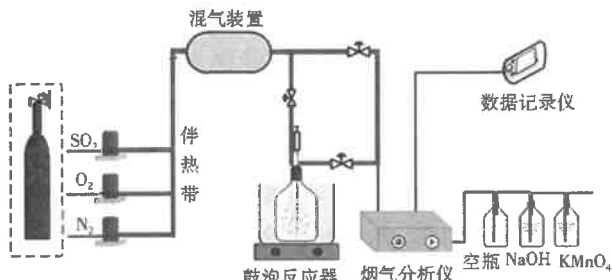


图1 三乙醇胺强化 $\text{Na}_2\text{SO}_3$ 脱硫实验装置

Fig.1 Experimental device of sodium sulfite desulfurization with triethanolamine enhancement

### 1.2 评价方法

本研究用 $\text{SO}_2$ 吸收容量、有效脱硫时间来评价

脱硫性能。

$\text{SO}_2$ 吸收容量以每升吸收液可吸收的 $\text{SO}_2$ 质量计,计算公式如式(1)所示。

$$\tau = \frac{1}{V} \int_0^t (c_{in} - c_{out}) \times f \times dt \quad (1)$$

式中: $\tau$ 为 $\text{SO}_2$ 吸收容量,mg/L; $c_{in}$ 、 $c_{out}$ 分别为鼓泡反应器进口和出口 $\text{SO}_2$ 质量浓度,mg/m<sup>3</sup>; $V$ 为吸收液的体积,mL; $t$ 为有效脱硫时间,min; $f$ 为烟气流量,L/min。

## 2 结果与讨论

### 2.1 三乙醇胺对 $\text{Na}_2\text{SO}_3$ 脱硫效果的影响

固定吸收液 $\text{Na}_2\text{SO}_3$ 质量分数为2%,考察0.075 4、0.150 8、0.226 2、0.301 6 mol/L的三乙醇胺对 $\text{Na}_2\text{SO}_3$ 脱硫效果的影响,结果如图2所示。从图2可以得出,当吸收液中分别添加0.075 4、0.150 8、0.226 2 mol/L的三乙醇胺时,有效脱硫时间从无添加三乙醇胺时的49.0 min分别延长到75.0、176.0、207.0 min; $\text{Na}_2\text{SO}_3$ 对 $\text{SO}_2$ 的吸收容量从无添加三乙醇胺时的8.72 g/L分别提高到12.43、16.93、20.12 g/L。由此可见,添加三乙醇胺对 $\text{Na}_2\text{SO}_3$ 脱硫有明显的促进作用,随着三乙醇胺浓度的增加, $\text{Na}_2\text{SO}_3$ 脱硫效果逐渐增强,这是因为 $\text{Na}_2\text{SO}_3$ 容易被氧化为 $\text{Na}_2\text{SO}_4$ 而失去脱硫能力,而三乙醇胺与 $\text{SO}_3^{2-}$ 结合生成络合物,抑制了 $\text{Na}_2\text{SO}_3$ 被氧化为 $\text{Na}_2\text{SO}_4$ ,络合物与热烟气中的 $\text{SO}_2$ 接触反应再生成 $\text{NaHSO}_3$ 和三乙醇胺,可以继续发挥脱硫效果,从而提高了有效脱硫时间,增大了 $\text{SO}_2$ 吸收容量;此外,三乙醇胺分子中存在的羟基与氨基也能够吸收一部分 $\text{SO}_2$ 。但三乙醇胺摩尔浓度增加到0.301 6 mol/L时,吸收液的有效脱硫时间与 $\text{SO}_2$ 吸收容量几乎不再增加。因

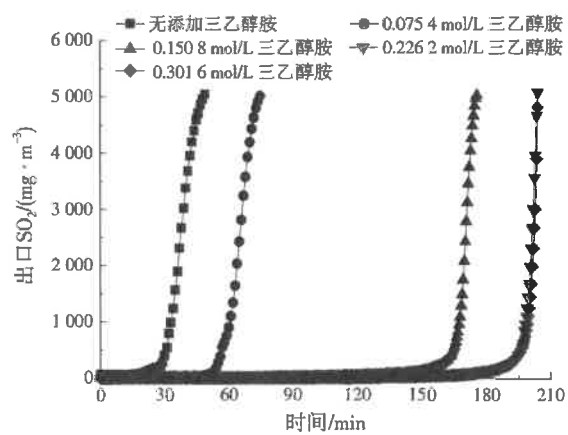


图2 三乙醇胺对 $\text{Na}_2\text{SO}_3$ 脱硫效果的影响

Fig.2 Effect of triethanolamine on sodium sulfite desulfurization

此,0.226 2 mol/L三乙醇胺是提高SO<sub>2</sub>的吸收容量,延长有效脱硫时间的最佳剂量。

## 2.2 Na<sub>2</sub>SO<sub>3</sub>浓度对脱硫效果的影响

分别考察了无添加三乙醇胺和0.150 8 mol/L三乙醇胺时,1%、2%、3%的Na<sub>2</sub>SO<sub>3</sub>对脱硫效果的影响,结果如图3所示。从图3可以得出,无添加三乙醇胺时,Na<sub>2</sub>SO<sub>3</sub>质量分数从1%增加到3%,有效脱硫时间从42.0 min延长到132.0 min,SO<sub>2</sub>吸收容量从3.77 g/L提高到11.69 g/L;三乙醇胺摩尔浓度为0.150 8 mol/L时,Na<sub>2</sub>SO<sub>3</sub>质量分数从1%增加到3%,有效脱硫时间从122.0 min延长到215.0 min,SO<sub>2</sub>吸收容量从11.71 g/L提高到20.78 g/L。由此可见,随着Na<sub>2</sub>SO<sub>3</sub>质量分数从1%增加到3%,有效脱硫时间和SO<sub>2</sub>吸收容量都显著提高,添加三乙醇胺可以有效强化Na<sub>2</sub>SO<sub>3</sub>脱硫效果。

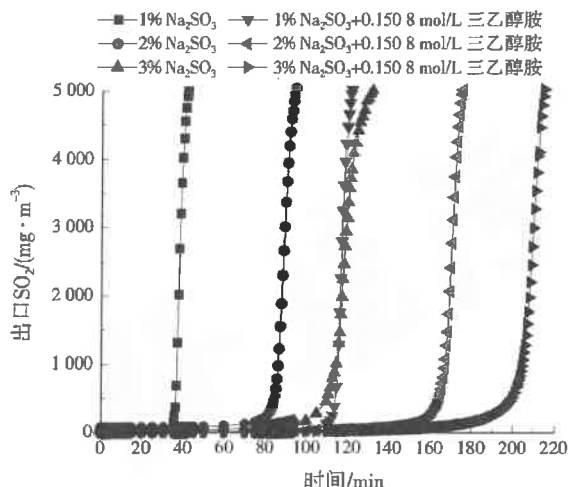


图3 Na<sub>2</sub>SO<sub>3</sub>质量分数对脱硫效果的影响

Fig.3 Effect of Na<sub>2</sub>SO<sub>3</sub> mass percentage on desulfurization

## 2.3 三乙醇胺自身脱硫效果探究

吸收液单纯为三乙醇胺时,考察不同浓度三乙醇胺对SO<sub>2</sub>的吸收效果,结果如图4所示。由图4可以得出,当三乙醇胺摩尔浓度分别为0.037 7、0.075 4、0.150 8、0.226 2、0.301 6 mol/L时,三乙醇胺的有效脱硫时间分别为30.0、53.0、83.0、132.5、134.5 min,SO<sub>2</sub>吸收容量分别为2.01、4.23、7.33、12.10、12.41 g/L。由此可见,随着三乙醇胺浓度的增加,其脱硫效果明显增强,如前文所述,这是由于三乙醇胺自身含有羟基与氨基,能与SO<sub>2</sub>发生反应。但当三乙醇胺摩尔浓度增加到0.226 2 mol/L以上时,三乙醇胺的脱硫效果基本不再增强,与2.1节的分析结果一致。这说明单纯靠增加三乙醇胺不能无限地提高SO<sub>2</sub>吸收容量。

综合以上实验结果发现,添加少量三乙醇胺就

能大幅提高Na<sub>2</sub>SO<sub>3</sub>脱硫效果,且比单纯用Na<sub>2</sub>SO<sub>3</sub>和三乙醇胺的脱硫效果都好,说明三乙醇胺与Na<sub>2</sub>SO<sub>3</sub>具有协同脱硫作用,两者复合使用效果更佳。对于SO<sub>2</sub>质量浓度为5 000 mg/m<sup>3</sup>、O<sub>2</sub>体积分数为6%、载气N<sub>2</sub>作为平衡气的情况,建议用0.226 2 mol/L三乙醇胺强化质量分数为3%的Na<sub>2</sub>SO<sub>3</sub>进行脱硫。

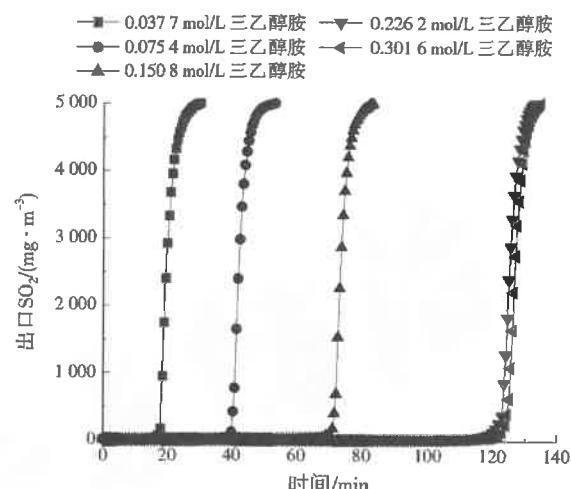


图4 三乙醇胺脱硫效果  
Fig.4 Desulfurization effect of triethanolamine

## 3 结论

(1) 在Na<sub>2</sub>SO<sub>3</sub>吸收液中添加三乙醇胺对脱硫效果有明显的促进作用,并且在一定范围内随着添加的三乙醇胺浓度增加,Na<sub>2</sub>SO<sub>3</sub>脱硫效果增强。

(2) 在添加一定量的三乙醇胺的条件下,Na<sub>2</sub>SO<sub>3</sub>质量分数从1%增加到3%,有效脱硫时间和SO<sub>2</sub>吸收容量都会显著提高,并且添加三乙醇胺显现出明显的强化Na<sub>2</sub>SO<sub>3</sub>脱硫的效果。

(3) 三乙醇胺自身由于含有羟基与氨基也能够吸收SO<sub>2</sub>。三乙醇胺与Na<sub>2</sub>SO<sub>3</sub>具有协同脱硫作用,两者复合使用效果更佳。

(4) 对于SO<sub>2</sub>质量浓度为5 000 mg/m<sup>3</sup>、O<sub>2</sub>体积分数为6%、载气N<sub>2</sub>作为平衡气的情况,建议用0.226 2 mol/L三乙醇胺强化质量分数为3%的Na<sub>2</sub>SO<sub>3</sub>进行脱硫。

## 参考文献:

- [1] JIANG B F, XIE Y L, XIA D H, et al. A potential source for PM<sub>2.5</sub>: analysis of fine particle generation mechanism in Wet Flue Gas Desulfurization System by modeling drying and breakage of slurry droplet[J]. Environmental Pollution, 2019, 246:249-256.
- [2] 邹佳乐,林尧林,杨薇.中国近年PM<sub>2.5</sub>污染研究进展[J].环境

- 污染与防治,2019,41(3):357-361,366.
- [3] 刘艳萍,王明仕,桂晨露,等.中国工业基地城市群PM<sub>2.5</sub>时空分布特征及相关性分析[J].科学技术与工程,2018,18(15):184-189.
- [4] DUAN L,WANG X H,WANG D F,et al.Atmospheric mercury speciation in Shanghai,China[J].Science of the Total Environment,2017,578:460-468.
- [5] 汪鹏,熊春,吴育杰,等.杭州市2017年冬季一次重灰霾过程中PM<sub>2.5</sub>水溶性离子特征、来源及成因分析[J].浙江大学学报(理学版),2019,46(3):345-353.
- [6] 朱彤,尚静,赵德峰.大气复合污染及灰霾形成中非均相化学过程的作用[J].中国科学:化学,2010,40(12):1731-1740.
- [7] LI K W,CHEN L H,WHITS S J,et al.Effect of nitrogen oxides (NO and NO<sub>2</sub>) and toluene on SO<sub>2</sub> photo oxidation, nucleation and growth:a smog chamber study[J].Atmospheric Research,2017,192:38-47.
- [8] GE X L,LI L L,CHEN Y F,et al.Aerosol characteristics and sources in Yangzhou, China resolved by offline aerosol mass spectrometry and other techniques[J].Environmental Pollution,2017,225:74-85.
- [9] GUO S,HU M,ZAMORA M L,et al.Elucidating severe urban haze formation in China[J].Proceedings of the National Academy of Sciences,2014,111(49):17373-17378.
- [10] 胡建辉.中国工业SO<sub>2</sub>排放分解因素效应分析——基于考虑环境规制的LMDI方法[J].政府管制评论,2018(2):49-66.
- [11] MA S H,WEN Z G,CHEN J N.Scenario analysis of sulfur dioxide emissions reduction potential in China's iron and steel industry[J].Journal of Industrial Ecology,2012,16(4):506-517.
- [12] MILLER M J.Retrofit SO<sub>2</sub> and NO<sub>x</sub> control technologies for coal-fired power plants[J].Environmental Progress,1986,5(3):171-177.
- [13] MENG Z H,WANG C Y,WANG X R,et al.Simultaneous removal of SO<sub>2</sub> and NO<sub>x</sub> from coal-fired flue gas using steel slag slurry[J].Energy & Fuels,2018,32(2):2028-2036.
- [14] MA Y P,YUAN D L,MU B L,et al.Synthesis, properties and application of double salt (NH<sub>4</sub>)<sub>2</sub>Mg(SO<sub>4</sub>)<sub>2</sub>·6H<sub>2</sub>O in wet magnesium-ammonia FGD process[J].Fuel,2018,219:12-16.
- [15] LI G,LI Y,HE J.Intensifying effects of zinc oxide wet flue gas desulfurization process with citric acid[J].Journal of Environmental Chemical Engineering,2019,7(1):102831.
- [16] 刘哲智.高浓度有色金属冶炼烟气脱硫方法研究[J].世界有色金属,2016(17):27-28.
- [17] WANG X S,HUANG Y B,LIN Z J,et al.Phosphotungstic acid encapsulated in the mesocages of amine-functionalized metal-organic frameworks for catalytic oxidative desulfurization[J].Dalton Transactions,2014,43(31):11950-11958.
- [18] 林敏清,刘航.离子液脱硫技术在环集烟气处理中的应用[J].有色冶金节能,2018,34(5):43-47.
- [19] 瞿林智.可再生胺类吸收剂烟气脱硫的研究[D].南京:南京理工大学,2010.
- [20] 王雯雯.亚硫酸钠循环法锅炉烟气脱硫研究[D].西安:西北大学,2017.
- [21] YAMAMOTO Y,YAMAMOTO H,TAKADA D,et al.Simultaneous removal of NO<sub>x</sub> and SO<sub>x</sub> from flue gas of a glass melting furnace using a combined ozone injection and semi-dry chemical process[J].Ozone: Science & Engineering,2016,38(3):211-218.
- [22] 蒋利桥,赵黛青,陈恩鉴,等.亚硫酸钠循环法烟气脱硫工艺实验研究[J].热能动力工程,2005,20(4):384-386.
- [23] 谢红银,熊源泉,史占飞,等.添加剂对尿素/氨溶液同时脱硫脱硝特性影响的试验研究[J].中国电机工程学报,2010,30(23):51-55.
- [24] WU Q,SUN C L,WANG H Q,et al.The role and mechanism of triethanolamine in simultaneous absorption of NO<sub>x</sub> and SO<sub>2</sub> by magnesia slurry combined with ozone gas-phase oxidation[J].Chemical Engineering Journal,2018,341:157-163.
- [25] 李治国,江博琼,金东春,等.某脱硫添加剂在600 MW机组湿法烟气脱硫系统中的应用研究[J].环境污染与防治,2011,33(11):89-92.
- [26] 陆雅静,熊源泉,高鸣,等.尿素/三乙醇胺湿法烟气脱硫脱硝的试验研究[J].中国电机工程学报,2008,28(5):44-50.

编辑:陈锡超 (收稿日期:2019-10-29)

(上接第1195页)

- [3] 赵丽,王长园,杨志斌,等.毛白杨落叶溶解性有机质的紫外和荧光特征[J].环境科学与技术,2017,40(2):98-102.
- [4] 邓天天,李哈晟,李义连,等.Fe(Ⅲ)对含水层中As的固化过程与机理研究[J].河南理工大学学报(自然科学版),2018,37(5):77-84.
- [5] 王世东.骆驼山煤矿不同含水层水中荧光性DOM分布特征[J].煤田地质与勘探,2015(2):53-57.
- [6] BIRDWELL J E,ENGEL A S.Characterization of dissolved organic matter in cave and spring waters using UV-Vis absorbance and fluorescence spectroscopy[J].Organic Geochemistry,2010,41(3):270-280.
- [7] 杨建,斯德武.井上下联合处理工艺处理矿井水过程中溶解性有机质变化特征[J].煤炭学报,2015,40(2):439-444.
- [8] QIAO W F,WANG X Y,LIU X M,et al.Characterization of dissolved organic matter in deep geothermal water from different burial depths based on three-dimensional fluorescence spectra[J].Water,2017,9(4):1-12.
- [9] WANG X Y,ZHAO L,LIU X M,et al.Temperature effect on the transport of nitrate and ammonium ions in a loose-pore geothermal reservoir[J].Journal of Geochemical Exploration,2013,124:59-66.
- [10] 张庆,赵丽,王心义.NH<sub>4</sub><sup>+</sup>在孔隙型地热水中的迁移机制研究[J].环境科学与技术,2015,38(4).
- [11] 国家环境保护总局《水和废水监测分析方法》编委会.水和废水监测分析方法[M].4版.北京:中国环境科学出版社,2002.
- [12] CHUN J A,COOKE R A,EHEART J W,et al.Estimation of flow and transport parameters for woodchip-based bioreactors: I. laboratory-scale bioreactor[J].Biosystems Engineering,2009,104(3):384-395.
- [13] QIAO J Z,WANG Z P,JIN S,et al.Nitrate removal from groundwater in columns packed with reed and rice stalks[J].Environmental Technology,2011,32(14):1589-1595.
- [14] 赵丽,田云飞,王世东,等.煤矸石中溶解性有机质(DOM)溶出的动力学变化[J].煤炭学报,2017,42(9):2455-2461.
- [15] 付坤.超深层地下水“三氮”的迁移转化规律研究[D].焦作:河南理工大学,2018.
- [16] 张云,张胜,刘长礼,等.包气带土层防护地下水污染的反硝化测定影响综述[J].水文地质工程地质,2010,37(2):114-119.

编辑:黄苇 (收稿日期:2019-10-28)